



计算驱动创新药物研发

Computation-Driven Drug Discovery Innovation

北京中大唯信科技有限公司
唯信知药(上海)科技有限公司
Wecomput Technology Co., Ltd.



About Wecomput

Wecomput Group



SEQUOIA CAPITAL
红杉资本 | CHINA



20+
研发人员



30+
软著专利



50+
算法模型



200+
SCI论文



300+
客户



6K+
公众号订阅

2020

Jun 2021

Jul 2021



北京：北京市海淀区上地信息路甲28号科实大厦D座504

上海：上海市浦东新区张江人工智能岛14号楼303

广州：广州市天河区珠江西路5号广州国际金融中心（西塔）807-809



代表客户与合作伙伴

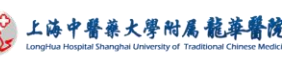
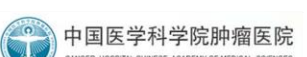
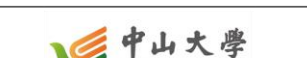
企业

 NVIDIA	 大冢制药 Otsuka	 先声药业 Simcere
 上海医药 SHANGHAI PHARMA	 国药集团 SINOPHARM	 华润三九 CR SANJIU
 轩竹医药 XuanZhu Pharma	 艾力斯	 安必奇生物 Abace Biotechnology
 游维生物	 先为达生物 Sciwind	 普利制药 HAINAN POLY PHARMA
 CHEMXAI		Top mRNA company To be disclosed

研究机构

 中国科学院 上海药物研究所 SIMM	 中国疾病预防控制中心 CHINESE CENTER FOR DISEASE CONTROL AND PREVENTION	 中国-新加坡国际联合研究院 CHINA-SINGAPORE INTERNATIONAL JOINT RESEARCH INSTITUTE
 中国科学院理化技术研究所 Technical Institute of Physics and Chemistry, CAS	 中国生物研究院 NATIONAL VACCINE & SERUM INSTITUTE	 中国医学科学院·北京协和医学院 药用植物研究所 IMPLAD
 中国人民解放军军事医学科学院 Institute of Military Medical Sciences	 中国医学科学院基础医学研究所 Institute of Basic Medical Sciences, Peking Union Medical College	 中国农业科学院 CAAS
 中国科学院南海海洋研究所 South China Sea Institute of Oceanology, CAS	 广州热带地理研究所 Guangzhou Institute of Tropical Geography, Chinese Academy of Sciences	 中国科学院植物研究所 Institute of Botany, Chinese Academy of Sciences

医院

 上海交通大学医学院附属瑞金医院	 复旦大学附属 中山医院 ZHONGSHAN HOSPITAL	 上海交通大学医学院附属 仁济医院
 四川大学 华西医院 WEST CHINA HOSPITAL, SICHUAN UNIVERSITY	 中南大学湘雅医院 XIANGYA HOSPITAL CENTRAL SOUTH UNIVERSITY	 上海交通大学医学院附属 第九人民医院
 首都医科大学附属北京天坛医院 BEIJING TIANTAN HOSPITAL, CAPITAL MEDICAL UNIVERSITY	 华中科技大学同济医学院附属 同济医院	 上海中醫藥大學附屬龍華醫院 Longhua Hospital Shanghai University of Traditional Chinese Medicine
 山东大学齐鲁医院 QILU HOSPITAL OF SHANDONG UNIVERSITY	 中国医学科学院肿瘤医院 CANCER HOSPITAL CHINESE ACADEMY OF MEDICAL SCIENCES	 解放军西部战区总医院
 南方医院 NANFANG HOSPITAL	 中山大学 附属肿瘤医院 SUN YAT-SEN UNIVERSITY CANCER CENTER	 解放军南部战区总医院

高校

 北京大学 PEKING UNIVERSITY	 清华大学 Tsinghua University	 上海交通大学 Shanghai Jia Tong University
 香港大学 THE UNIVERSITY OF HONG KONG	 加州大学戴维斯分校 THE UNIVERSITY OF CALIFORNIA, DAVIS	 复旦大学 FUDAN UNIVERSITY
 浙江大学 ZHEJIANG UNIVERSITY	 武汉大学 WUHAN UNIVERSITY	 空军军医大学 The Fourth Military Medical University
 中国药科大学 CHINA PHARMACEUTICAL UNIVERSITY	 中山大学 SUN YAT-SEN UNIVERSITY	 南京大学 NANJING UNIVERSITY
 北京中医药大学 BEIJING UNIVERSITY OF CHINESE MEDICINE	 中国海洋大学 OCEAN UNIVERSITY OF CHINA	 中国农业大学 China Agricultural University

Vision

实验数据、算力、算法、预测模型呈指数级增长

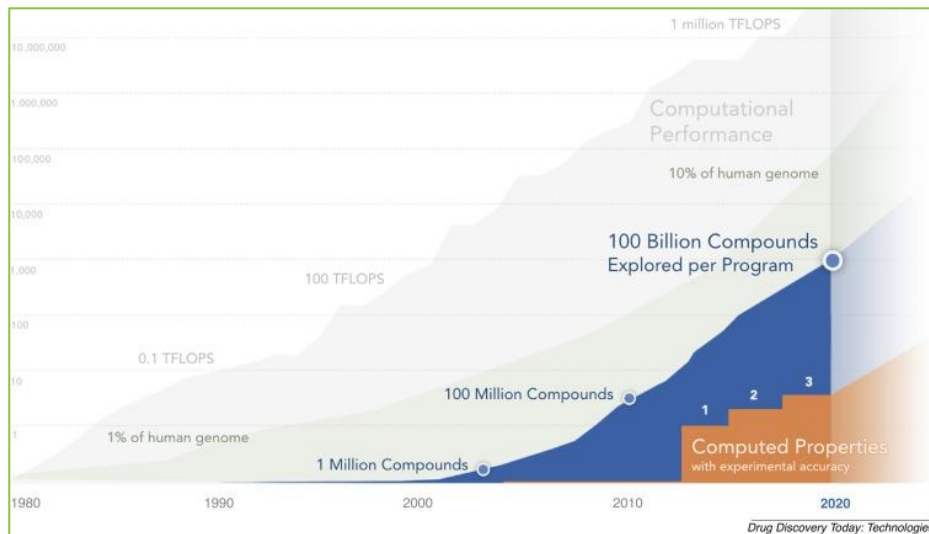


Fig. 1. Here we depict that computational resources, number of experimentally determined protein structures, ability to programmatically enumerate synthetically feasible compounds, and the number of endpoints which can be prospectively predicted with an accuracy approaching wet-lab experiments have all been increasing at an approximately exponential rate. This suggests that computational methods, especially structure-based computational methods, can now be applied to accelerate drug discovery efforts at an unprecedented scale.

1、用AI计算替代部分湿实验环节，降低药物研发成本、缩短周期

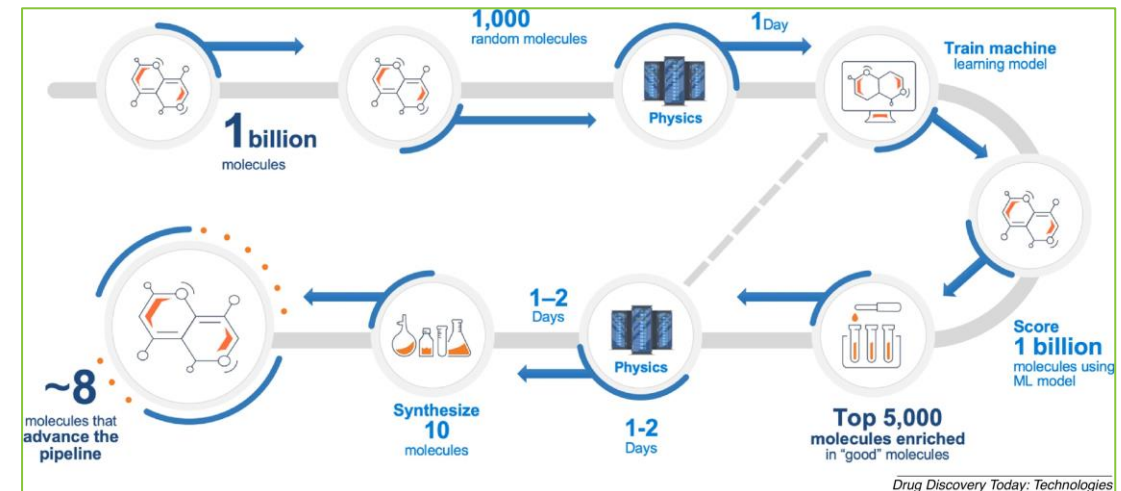


Fig. 3. Active-learning workflow to profile large sets of molecules through physics-based free energy calculations combined with machine learning.

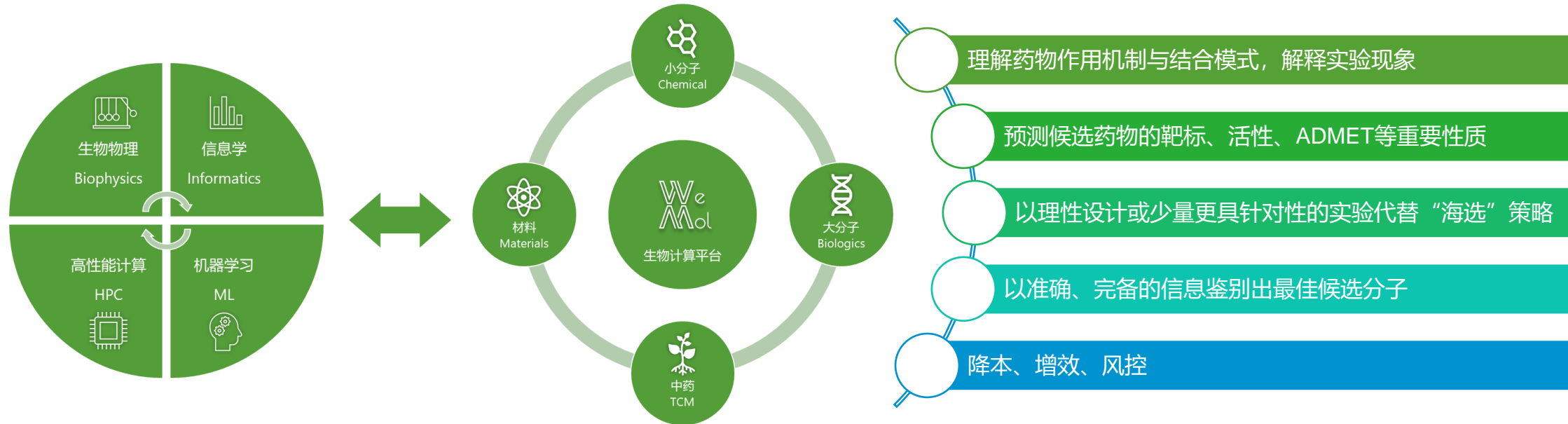
2、积累和学习药物研发中的湿实验数据，促进计算方法迭代进化

3、计算与实验有机结合、干湿闭环，drug the undruggable

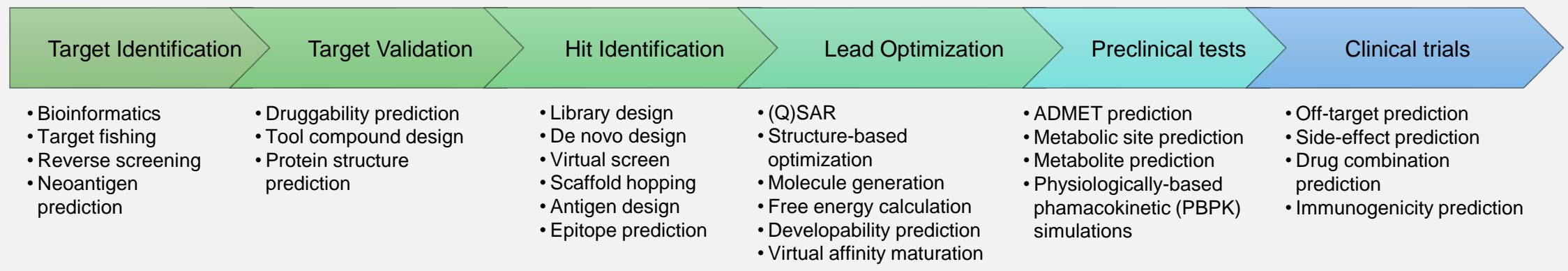


Computational Technology

Technology Overview

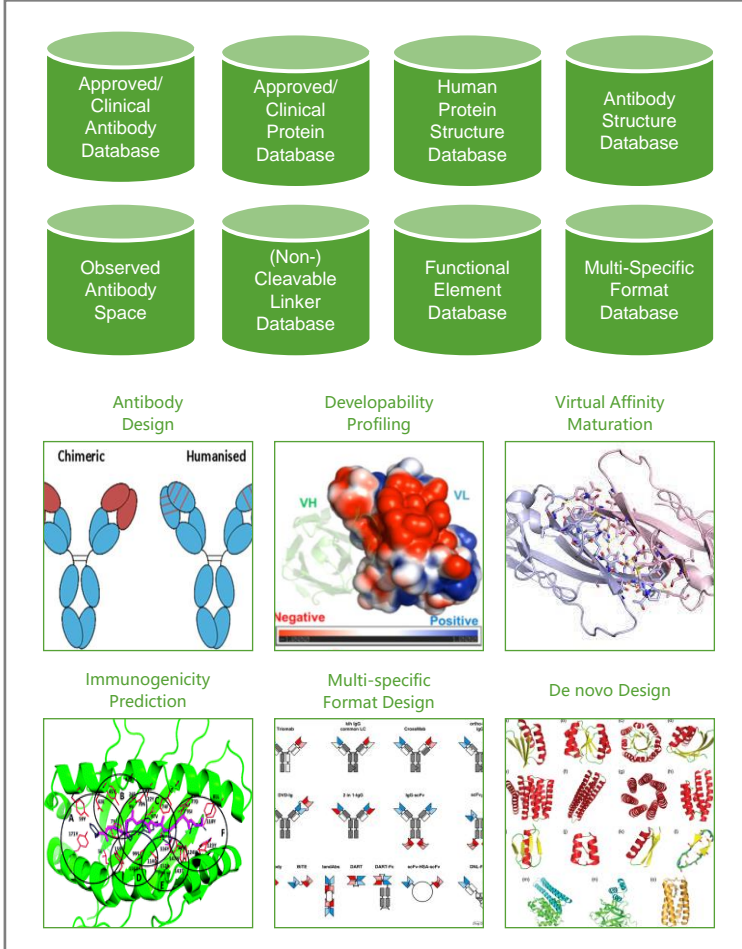


Wecomput 专利算法 ALPHA (Algorithms for Pharmaceutical Industry) - 赋能药物发现全流程

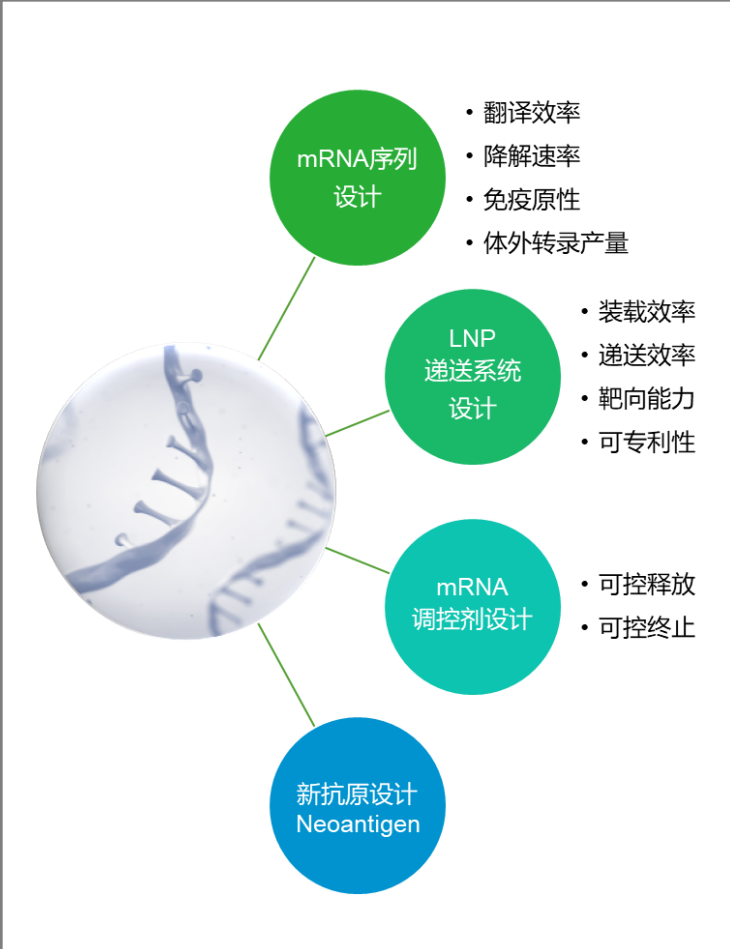


Featured Platforms

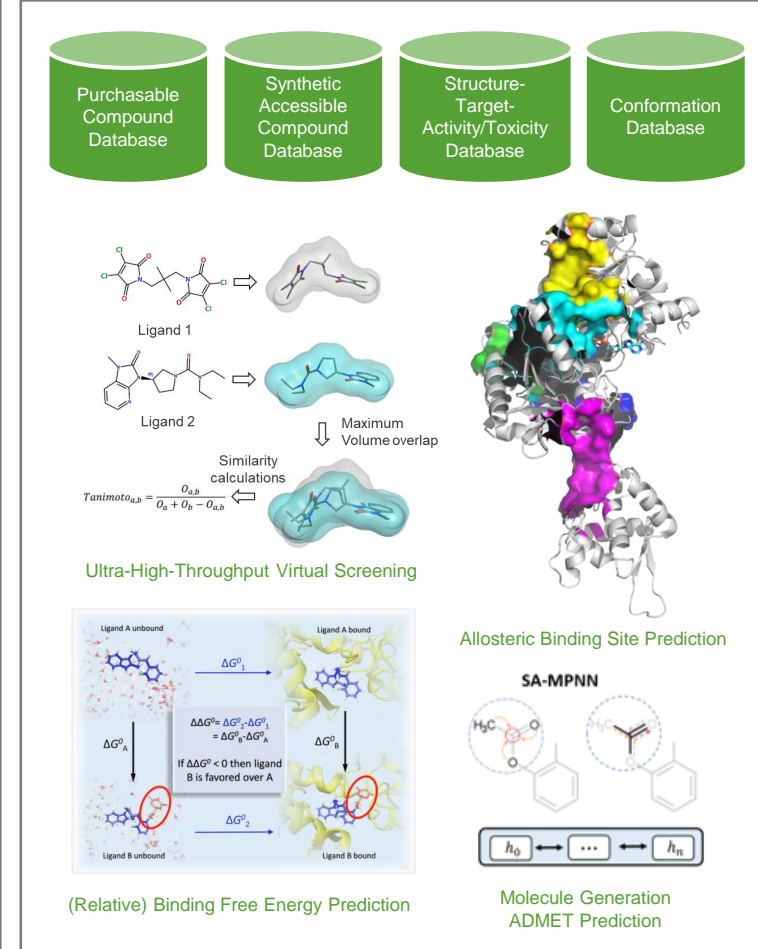
Protein Design Platform



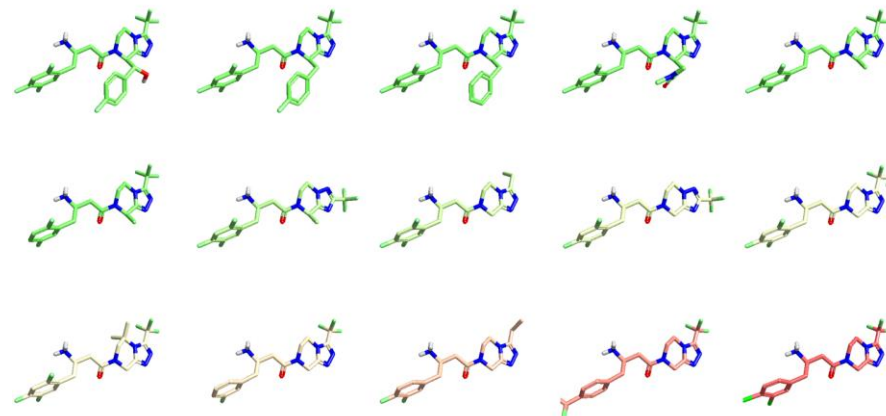
mRNA Design Platform



Small Molecule Design Platform



相比二维结构，药物的三维构象与活性更相关，
准确预测、快速生成、高效存储是痛点



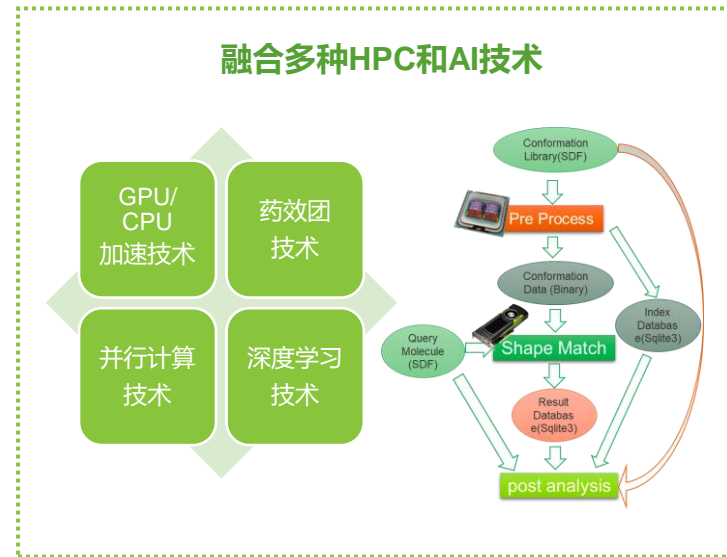
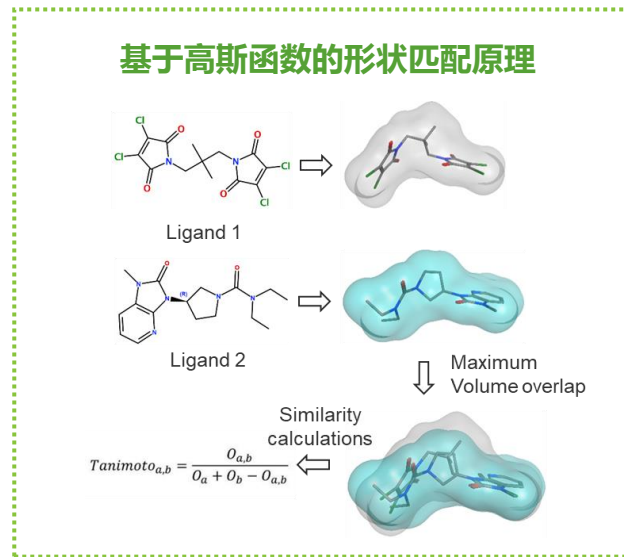
AlphaConf高通量三维构象生成算法

- 精度明显优于同类开源算法，且更好地支持复杂结构
- 高效率的三维构象搜寻技术，速度远超同类算法
- 独特构象压缩技术，比主流商业软件的**存储空间降低数百倍**，适用于超大规模三维构象库的构建和超高通量虚拟筛选

Algorithm	Force Field	RMSD			
		Maximum ensemble size 50		Maximum ensemble size 250	
		Mean	Median	Mean	Median
ConfGenX	OPLS3	0.63	0.52	0.54	0.44
cxcalc	Dreiding	0.87	0.77	0.73	0.61
iCon	MMFF94s	0.72	0.53	0.59	0.47
MOE	MMFF94s	0.75	0.54	0.62	0.50
OMEGA	MMFF94s _NoEstat	0.67	0.51	0.57	0.46
RDKit DG	UFF	0.77	0.64	0.63	0.52
AlphaConf	UFF	0.64	0.54	0.54	0.46

Storage space for 10M molecules				
	Max allowed conformations per molecule			
File Format	100	250	500	1000
AC (AlphaConf)	7.2 GB	11 GB	17 GB	24 GB
SDF	2.7 TB	6.6 TB	14 TB	22 TB
Ratio	375	600	820	920

AlphaShape – 药物三维结构/药效团匹配



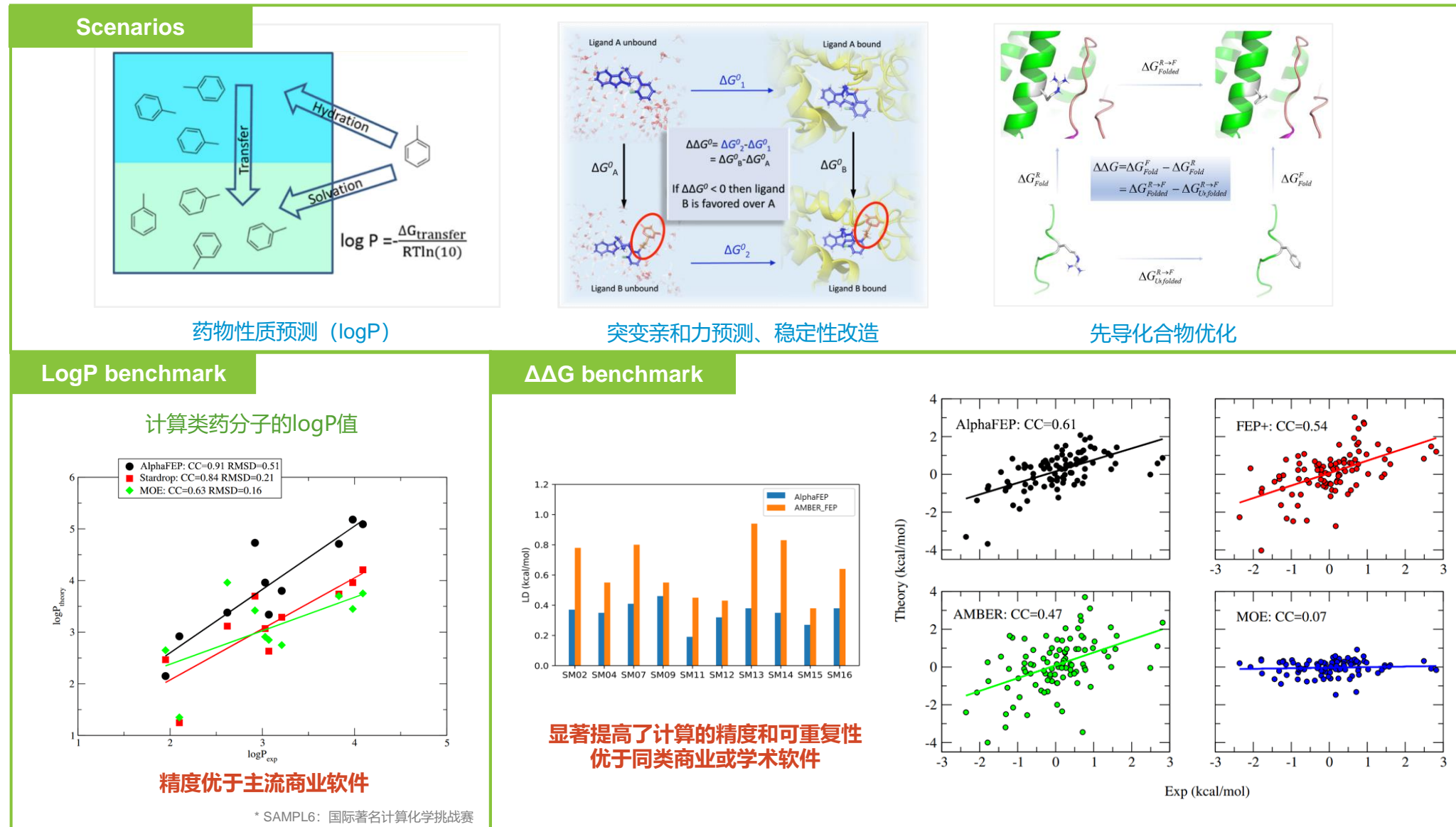
精度大幅超过主流商业软件

AUC (Avg.)	Schrodinger / ROCS		AlphaS		
	Shape	Pharmacophore	Shape	Pharmacophore	S+P+DNN
DUD	0.716	0.823	0.750	0.847	0.930
DUD-E	0.663 / 0.696		-	-	0.837



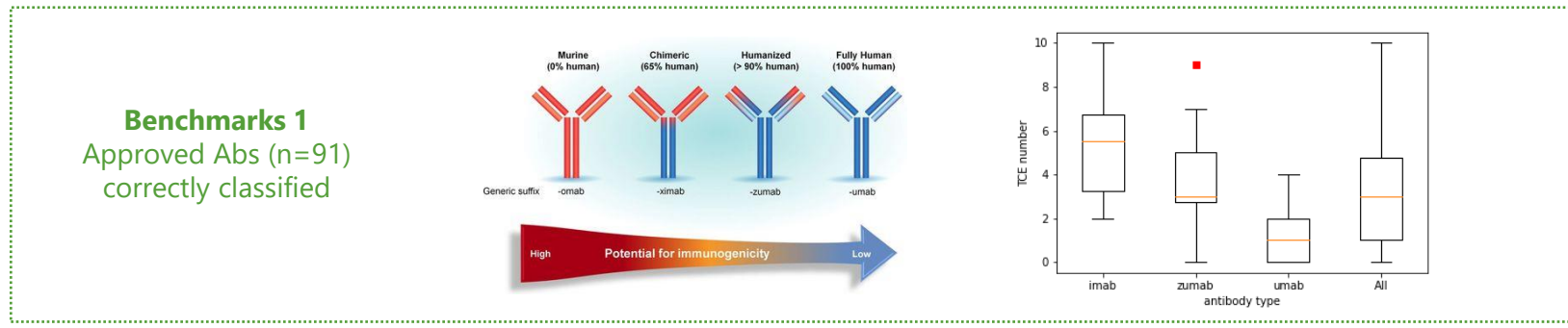
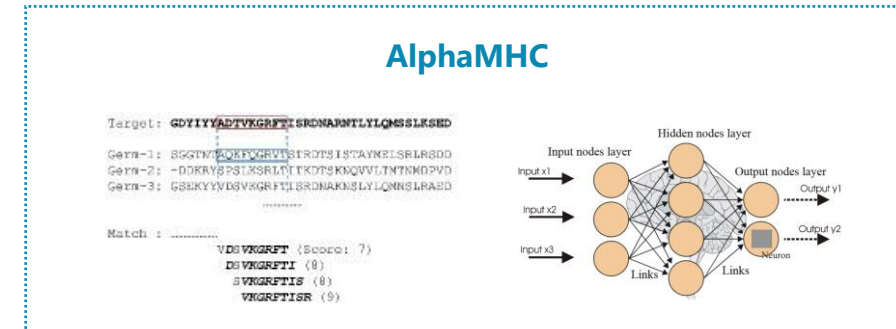
X. Yan, J. Li, et al., J. Chem. Inf. Model., 2013, 53(8), 1967–1978.
X. Yan, J. Li, et al., J. Comput. Chem., 2014, 35(15), 1122-1130.
M. Xia, X. Yan, J. Li, et al. manuscript, 2021

AlphaFEP – 药物相对结合自由能计算



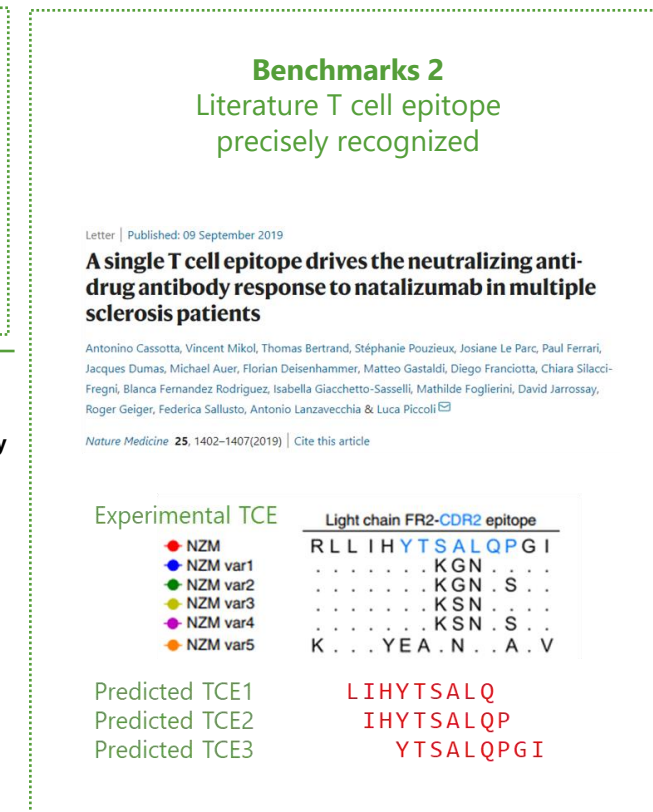
AlphaMHC – 药物免疫原性预测

- 相当数量的大分子项目因为免疫原性折戟，体外湿实验手段成本高、周期久且无法准确预测免疫原性的临床表现，AlphaMHC可以**准确预测临床结果**，可以有效地跟体外实验手段结合评价免疫原性风险。
- 还可以预测肿瘤新生抗原（neoantigen）用于疫苗。



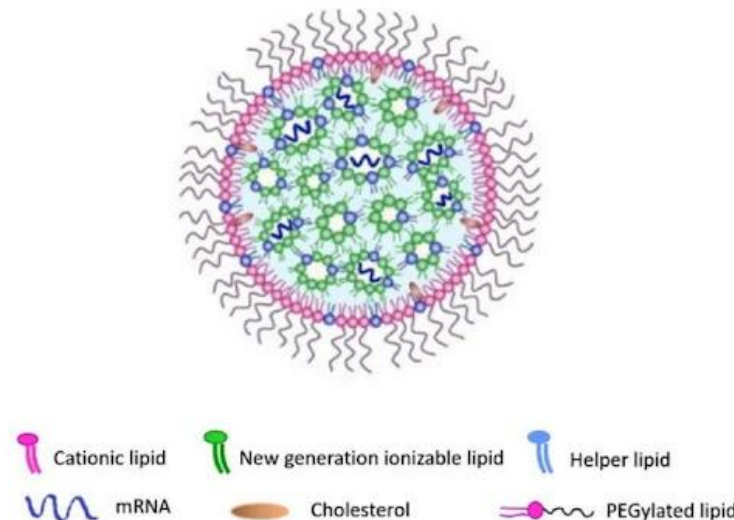
Benchmarks 3: immunogenicity events of clinical studies correctly predicted (6/7)

Drug Name	Company	Type	Note	ADA rate	Immunogenicity (ground truth)	Predicted Risk (T cell epitopes)	Prediction Accuracy
Alemtuzumab	Bayer	Anti-CD52 Ab	First humanized Ab	85%	High	High (7)	True Positive
Atezolizumab (Tecentriq)	Roche	Anti-PD-L1 Ab		40%	High	High (5)	True Positive
Bococizumab	Pfizer	Anti-PCSK9 Ab	Discontinued	48%	High	Medium (3)	False Negative
Infliximab	Janssen	Anti-TNF- α Ab		28%	High	High (4)	True Positive
Ixekizumab	Novartis	Anti-IL-17A Ab	MAPPs assay identified 5-7 TCE*	18%	High	High (5)	True Positive
Vatreptacog alfa	Novo Nordisk	FactorVIIa analog	Discontinued	11%	High	High (6)	True Positive
NovoSeven	Novo Nordisk	FactorVIIa		0	Low	Low (0)	True Negative

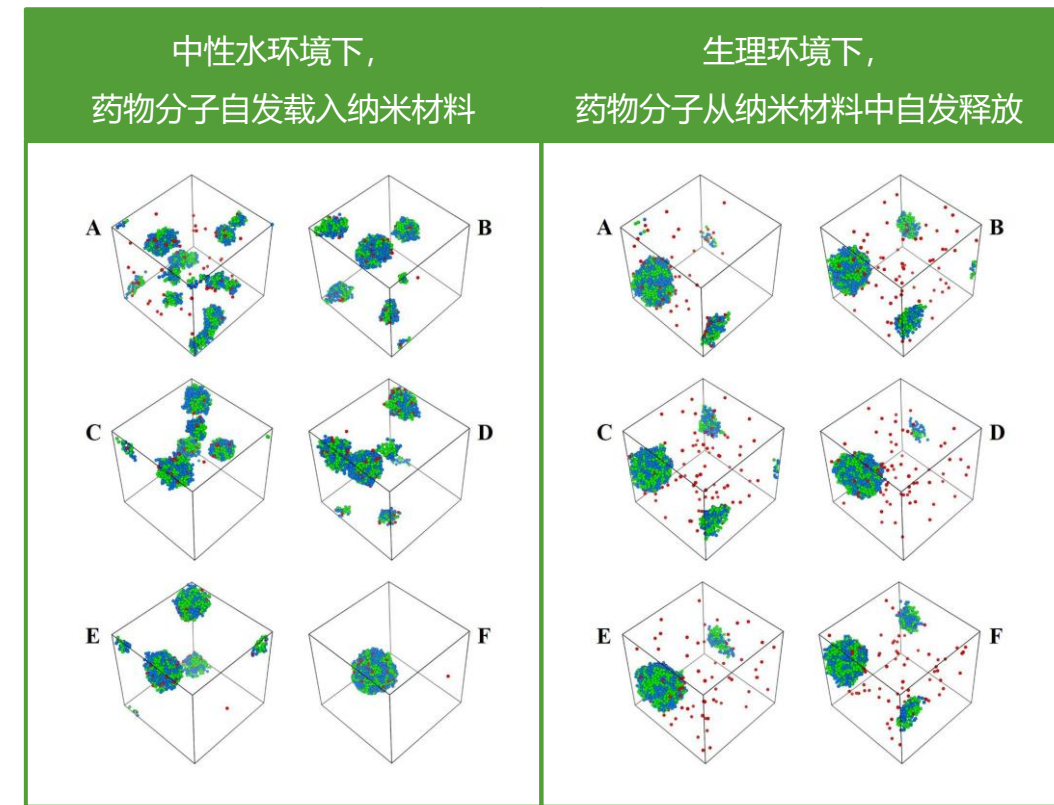


LNP递送系统模拟

- 支持LNP、LPX、LPP及新型脂质体分子的结构设计与模拟
- 动态模拟RNA/LNP自组装、释放等全过程
- 多种精度的分子动力学模拟，成熟的力场参数
- 用于设计、筛选自主知识产权的递送系统



药物载入与释放模拟

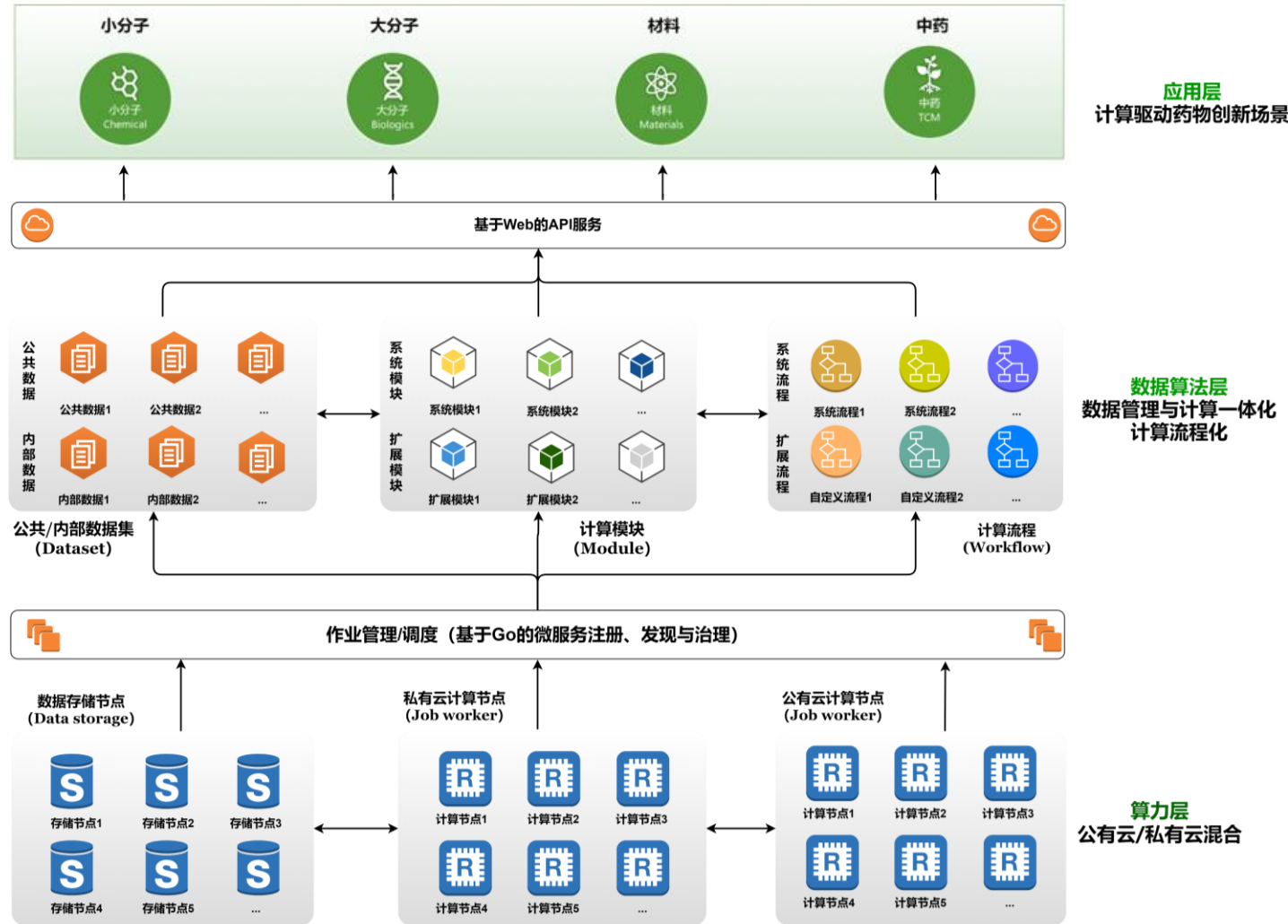


ACS Appl. Mater. Interfaces, 2019, 11, 45276-45289

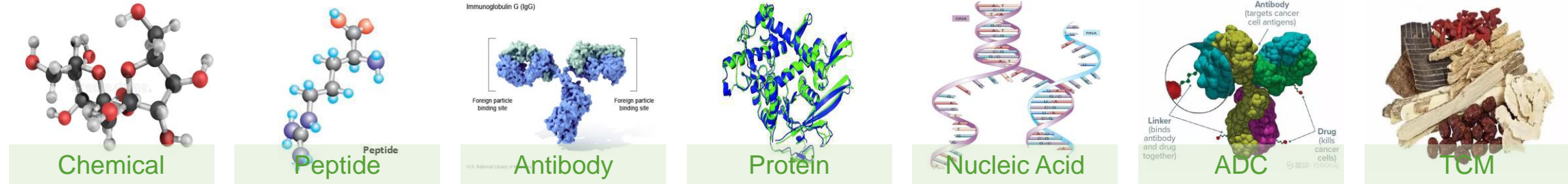
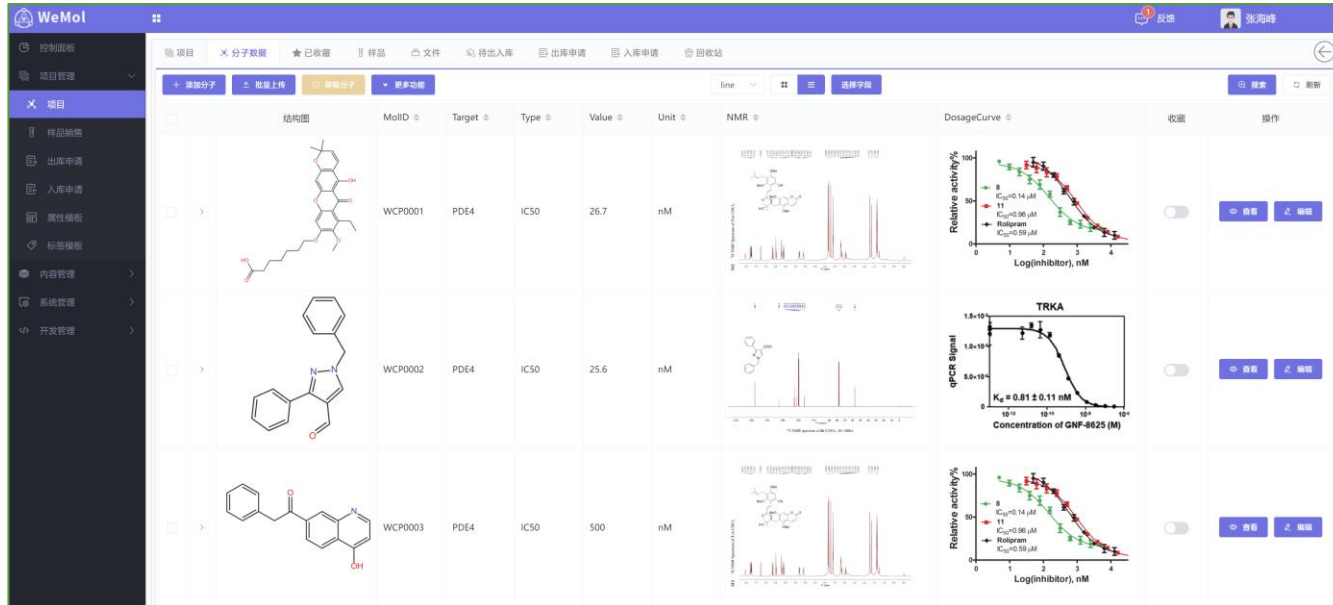


Software

WeMol –分子数字化智能计算平台



WeMol – 数字化模块



WeMol – 智能计算模块

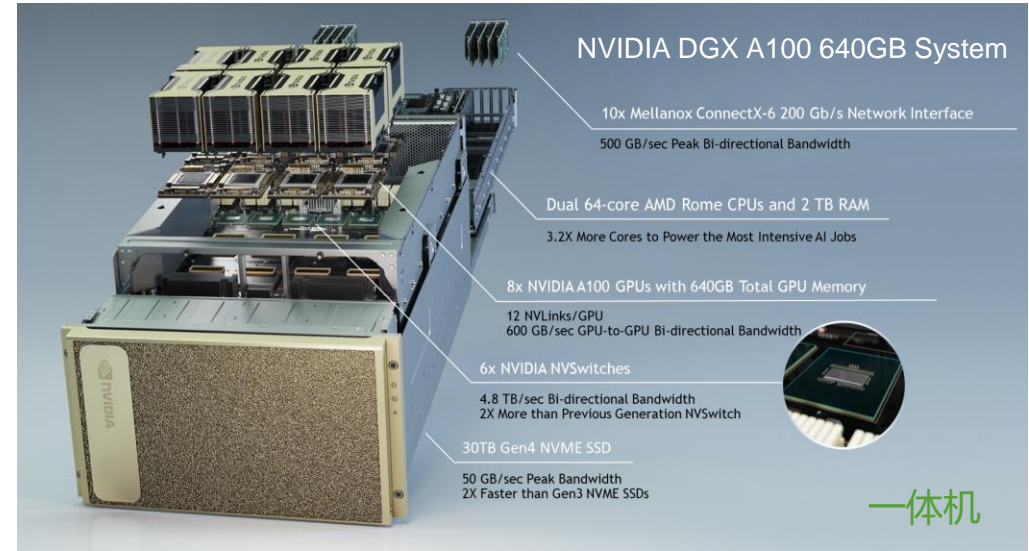


The screenshot shows the WeMol software interface. On the left is a sidebar with navigation options: 计算模块, 计算流程, 公共数据集, 我的空间, 作业中心 (highlighted), 处理器, 计算模块, 计算流程, and 数据集. The main area displays a workflow titled "AlphaC/S-based large scale virtual screening workflow using GPU". The workflow diagram includes nodes for SDReader, PAINS Filter, AlphaConf, AlphaShape, and Diverse Molecule Select. A tooltip for AlphaShape explains it as a molecular shape comparison method used for clustering. Below the diagram is a table with columns: 编号, 创建时间, 开始时间, 完成时间, 处理用时, 状态, and 操作. One row is shown with values: 398, 2021-11-15 13:13:56, 2021-11-15 13:13:57, 2021-11-15 13:14:05, 7 秒, 已完成, and three buttons: 重启作业, 读取作业, and 保存流程. At the bottom, there are four circular icons with counts: Modules (30), Workflows (5), Programs (31), and Datasets (7).

More are coming...

软硬件一体解决方案

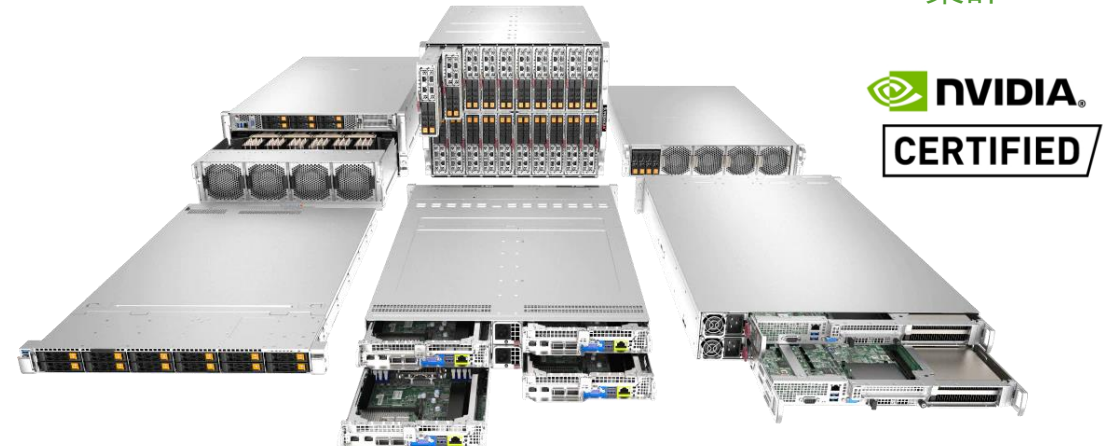
灵活的、跨平台、分布式部署方式



私有云部署



HPC集群



感谢观看 Thanks



WECOMPUT



微信订阅号



头条号



微信服务号



微信客服

电话: 400-920-4059 | 邮箱: info@wecomput.com | 官网: www.wecomput.com